

## НЕОРГАНІЧНА ХІМІЯ

УДК 548.736.4

А.О. Стецьків<sup>1</sup>

### Дослідження взаємодії компонентів у потрійній системі Y-Li-Sn за температури 400 °C

<sup>1</sup>Івано-Франківський національний медичний університет,  
вул. Галицька, 2, м. Івано-Франківськ, 76018, Україна

Методами X-променевого аналізу та мікроаналізу поверхні досліджено взаємодію компонентів та побудовано ізотермічний переріз діаграми стану системи Y-Li-Sn в концентраційному інтервалі 30-100 ат. % Sn за температури 400 °C.

У досліджуваній системі вперше за допомогою методу порошку на дифрактометрі STOE STADI P (CuK<sub>α</sub>-випромінювання) виявлено утворення двох нових тернарних сполук складів YLiSn<sub>2</sub> (структурний тип CeNiSi<sub>2</sub>, просторова група *Cmcm*, символ Пірсона *oS16*, параметри комірки  $a = 0,4252(1)$ ,  $b = 1,8001(7)$ ,  $c = 0,4339(1)$  нм) та Y<sub>4</sub>LiSn<sub>4</sub> (невідомо структура). Підтверджено існування однієї потрійної фази (YLiSn) та п'ятнадцяти подвійних сполук. При температурі відпалу також встановлено існування твердого розчину включення на основі бінарної фази Y<sub>5</sub>Sn<sub>3</sub>, граничним складом якого є Y<sub>5</sub>LiSn<sub>3</sub>. Інші бінарні фази не розчиняють третій компонент.

**Ключові слова:** потрійна система, фазові рівноваги, синтез, інтерметалічна сполука, кристалічна структура.

А.О. Stetskiv<sup>1</sup>

### Interaction of the components in the Y-Li-Sn ternary system at 400 °C

<sup>1</sup>Ivano-Frankivsk National Medical University,  
2, Galyska Str., Ivano-Frankivsk, 76018, Ukraine

The isothermal cross-section of the phase diagram of the system Y-Li-Sn based on X-ray phase and local X-ray spectral analyses was constructed at the temperature 400 °C in the range 30-100 at. % Y-Li-Sn.

Two new ternary compounds have been synthesized for the first time: YLiSn<sub>2</sub> (structural type CeNiSi<sub>2</sub>, Pearson symbol *oS16*, space group *Cmcm*,  $a = 0,4252(1)$ ,  $b = 1,8001(7)$ ,  $c = 0,4339(1)$  nm) and Y<sub>4</sub>LiSn<sub>4</sub> (unknown structure). All these compounds have been refined using powder X-ray diffraction data (diffractometer STOE STADI P (CuK<sub>α</sub>-radiation)).

The existence of the ternary compound YLiSn (structural type YLiSn) and fifteen binary phases was confirmed. Existence of the limited solid solution of inclusion based on the Y<sub>5</sub>Sn<sub>3</sub> binary compound Y<sub>5</sub>Li<sub>x</sub>Sn<sub>3</sub> ( $0 \leq x \leq 1,0$ ) has been detected. Ultimate composition of this solid solution is Y<sub>5</sub>LiSn<sub>3</sub> ((structural type Hf<sub>5</sub>CuSn<sub>3</sub>, Pearson symbol *hP18*, space group *P6<sub>3</sub>/mcm*,  $a = 0,89056(2)$ ,  $c = 0,65143(1)$  nm)

**Key words:** ternary system, phase equilibria, synthesis, intermetallic compounds, crystal structure.

Стаття поступила до редакції 20.09.2017; прийнята до друку 25.12.2017

#### Вступ

Серед інтерметалічних сполук, які останнім часом активно вивчаються, велику увагу приділяють сполукам, що утворюються в багатокомпонентних системах внаслідок взаємодії елементів з різними електронними конфігураціями

атомів. Основою для одержання матеріалів з заданим комплексом фізико-хімічних властивостей залишається вивчення діаграм фазових рівноваг багатокомпонентних систем, встановлення кристалічної структури сполук, які утворюються в них, комплексне дослідження властивостей сплавів.

Вивчення потрійних систем з лужними металами становить дедалі більший інтерес, оскільки в цих системах утворюються сполуки з цікавими кристалохімічними особливостями. Системи за участю рідкісноземельних металів, р-елементів IV групи (Si, Ge, Sn) та лужних металів залишаються маловивченими. На сьогодні синтезовано ряд силіцидів, германідів та станідів лужних та рідкісноземельних металів, які характеризуються цілим комплексом корисних фізико-хімічних властивостей. Проте систематичне дослідження ізотермічних перерізів діаграм стану потрійних систем складу РЗМ-Li-Sn при певних температурах не проводилося. У них синтезувалися лише окремі зразки з метою пошуку інтерметалічних сполук певних стехіометричних складів і дослідження їх властивостей [1-4].

Метою даної роботи є вивчення взаємодії компонентів у системі Y-Li-Sn в концентраційному інтервалі 30-100 ат. % Sn за температури 400 °С, побудова ізотермічного перерізу діаграми стану та визначення кристалічної структури нових тернарних сполук, що утворюються в ній.

## I. Експериментальна частина

Для дослідження системи було виготовлено 35 подвійних і потрійних сплавів. Зразки масою 1 г синтезували методом електродугового плавлення шихти з компактних металів високої чистоти (Y з вмістом основного компоненту не менше 0,998 мас. частки, Li – 0,9996 мас. частки, Sn – 0,9999 мас. частки).

Приготовлену шихту із наважок чистих компонентів плавлять в електродуговій печі з вольфрамовим електродом на мідному водоохолоджуваному поді в атмосфері очищеного аргону (99,998 об'ємних % Ar) під тиском 1,0 атм. Як гетер використовували губчастий титан. Втрати під час плавлення не перевищували 1 мас. % для кожного сплаву, тому склад сплавів приймали таким, що дорівнює складу шихти. Одержані зразки відпалювали у вакуумованих кварцових ампулах при температурі 400 °С впродовж 480 годин. Відпалені сплави гартували в холодній воді, не розбиваючи ампул.

Фазовий аналіз синтезованих зразків проводили за масивами експериментальних даних дифракції X-променевого випромінювання, одержаних за допомогою дифрактометрів ДРОН-2,0М (FeK $\alpha$ -випромінювання) та URD-6 (CuK $\alpha$ -випромінювання). Для детальнішого вивчення кристалічної структури використовували масив даних, отриманих на дифрактометрі STOE STADI P (CuK $\alpha$ -випромінювання). Щоб запобігти текстуруванню, зразки наносилися на поверхню кварцевої кювети у вигляді пасти з порошку сплаву, розтертого в індиферентному маслі. Для усунення інструментальних помилок, що

впливають на точність вимірів кутів відбиття на дифрактограмі, в досліджуваній сплав вводився внутрішній стандарт – порошок Силіцію.

Розрахунки та індексування порошкових дифрактограм проводилися з використанням програм LATCON [5] (уточнення періодів ґратки) і POWDER CELL-2.3 [6] (розрахунок теоретичних дифрактограм). Розрахунки для уточнення структури зразків проводилися за допомогою програм CSD [7] та FullProf 98 [8]. Для з'ясування та підтвердження фазового складу деяких зразків системи застосовували метод енергодисперсійної рентгенівської спектроскопії (ЕДРС) у поєднанні з растровим електронним мікроскопом РЕММА-102-02. Область гомогенності твердого розчину визначали за результатами рентгенофазового та мікроструктурного аналізів.

## II. Результати та обговорення

Подвійні системи Y-Sn [9] та Li-Sn [10] вивчені достатньо добре. Для них побудовані діаграми стану та визначено кристалічні структури більшості знайдених сполук. Кристалографічні характеристики бінарних фаз вищезгаданих систем наведено в табл. 1 (тут і далі СТ – структурний тип, СП – символ Пірсона, ПГ – просторова група).

Фазові рівноваги в потрійній системі Y-Li-Sn при 400 °С було досліджено методами рентгенофазового аналізу та мікроаналізу поверхні в концентраційному інтервалі 30-100 ат. % Sn. Ізотермічний переріз діаграми стану цієї системи представлено на рис. 1а. Мікроструктура сплаву, що містить фази Y<sub>5</sub>Sn<sub>3</sub> і Y<sub>3</sub>Sn показано на рис. 1б.

При температурі відпалу у потрійній системі було підтверджено існування більшості бінарних фаз подвійних систем Y-Sn та Li-Sn, а також тернарної фази  $\tau_2$  – YLiSn, яка була досліджена раніше [22]. Окрім цієї фази, в системі Y-Li-Sn при 400 °С встановлено існування ще двох нових тернарних сполук  $\tau_1$  – YLiSn<sub>2</sub> та  $\tau_3$  – Y<sub>4</sub>LiSn<sub>4</sub>. Кристалічну структуру визначено для фази  $\tau_1$  – YLiSn<sub>2</sub>, яка кристалізується у структурному типі CeNiSi<sub>2</sub>. Для сполуки Y<sub>4</sub>LiSn<sub>4</sub> кристалічну структуру не визначено через важкість отримання якісного монокристалу або хоча б однофазного зразку.

При температурі відпалу в системі також встановлено існування твердого розчину включення на основі бінарної фази Y<sub>5</sub>Sn<sub>3</sub> за рахунок введення атомів Літію в октаедричні порожнечі вихідної сполуки. Граничним складом цього твердого розчину є Y<sub>5</sub>LiSn<sub>3</sub>, структура якого є впорядкованою і належить до структурного типу Hf<sub>5</sub>CuSn<sub>3</sub>. Зміну об'єму елементарної комірки із збільшенням вмісту Літію приведено на рис. 2. Кристалографічні характеристики знайдених фаз приведено в табл. 2.

Таблиця 1

Кристалічна структура сполук системи Li-Sn та Y-Sn							
Сполука	СТ	СП	ПГ	Параметри комірки, нм			Літ-ра
				<i>a</i>	<i>b</i>	<i>c</i>	
LiSn	LiGe	tI24	<i>I4<sub>1</sub>/amd</i>	0.4387	0.4387	2.5511(4)	11
LiSn	LiSn	mP6	<i>P12/m1</i>	0.517	0.774	0.318(2) $\gamma = 104,5^\circ$	12
Li <sub>5</sub> Sn <sub>2</sub>	Li <sub>5</sub> Sn <sub>2</sub>	hR21	<i>R3mh</i>	0.474	0.474	1.983(3)	13
Li <sub>7</sub> Sn <sub>2</sub>	Li <sub>7</sub> Ge <sub>2</sub>	oS36	<i>Cmmm</i>	0.980	1.380	0.475(1)	14
Li <sub>7</sub> Sn <sub>3</sub>	Li <sub>7</sub> Sn <sub>3</sub>	mP20	<i>P112<sub>1</sub>/m</i>	0.945	0.856	0.472(1) $\gamma = 105,9^\circ$	15
Li <sub>17</sub> Sn <sub>4</sub>	Li <sub>17</sub> Pb <sub>4</sub>	cF420	<i>F43m</i>	1.9691	1.9691	1.9691(1)	16
Li <sub>13</sub> Sn <sub>5</sub>	Li <sub>13</sub> Sn <sub>5</sub>	hP18	<i>P3m1</i>	0.470	0.470	1.712(4)	17
Li <sub>2</sub> Sn <sub>5</sub>	Mn <sub>2</sub> Hg <sub>5</sub>	tP14	<i>P4/mbm</i>	1.0274	1.0274	0.3125(5)	18
YSn <sub>2.7</sub>	GdSn <sub>2.75</sub>	oS16	<i>Amm2</i>	0.4345	0.4391	2.1937	19
Y <sub>2</sub> Sn <sub>5</sub>	Er <sub>2</sub> Ge <sub>5</sub>	oS14	<i>Pmmn</i>	0.4322	0.4409	1.9089	19
YSn <sub>2</sub>	ZrSi <sub>2</sub>	oS12	<i>Cmcm</i>	0.43809	1.6296	0.43034	20
Y <sub>11</sub> Sn <sub>10</sub>	Ho <sub>11</sub> Ge <sub>10</sub>	tI84	<i>I4/mmm</i>	1.1532	1.1532	1.6880	21
Y <sub>5</sub> Sn <sub>4</sub>	Sm <sub>5</sub> Ge <sub>4</sub>	oS36	<i>Pnma</i>	0.805	1.529	0.805	9
Y <sub>5</sub> Sn <sub>3</sub>	Mn <sub>5</sub> Si <sub>3</sub>	hP16	<i>P6<sub>3</sub>/mcm</i>	0.8880	0.8880	0.6492	21

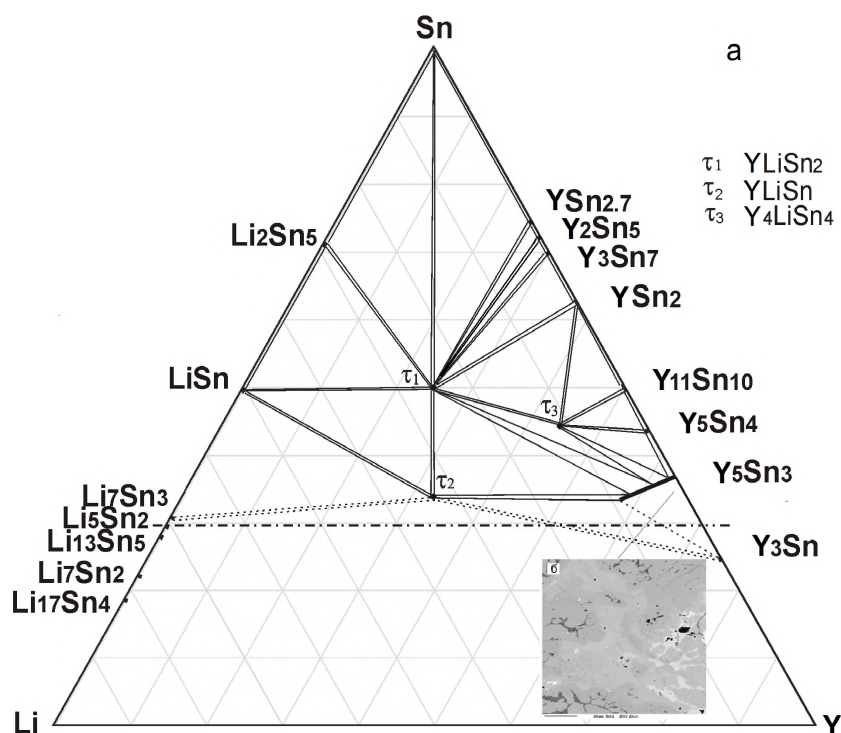


Рис. 1. Ізотермічний переріз діаграми стану системи Y-Li-Sn при 400 °C (а); на вставці (б) - фотографія мікроструктури сплаву, що містить фази Y<sub>5</sub>Sn<sub>3</sub> і Y<sub>3</sub>Sn

Таблиця 2

Кристаліграфічні характеристики сполук системи Y-Li-Sn							
Сполука	СТ	СП	ПГ	Параметри комірки, нм			
				<i>a</i>	<i>b</i>	<i>c</i>	
Y <sub>5</sub> Li <sub>x</sub> Sn <sub>3</sub> ( <i>x</i> =1,0)	Hf <sub>5</sub> CuSn <sub>3</sub>	hP18	<i>P6<sub>3</sub>/mcm</i>	0.89056(2)	0.89056(2)	0.65143(1)	
$\tau_1$ - YLiSn <sub>2</sub>	CeNiSi <sub>2</sub>	oS16	<i>Cmcm</i>	0.4252(1)	1.8001(7)	0.4339(1)	
$\tau_2$ - YLiSn	YLiSn	hP24	<i>P6<sub>3</sub>/mc</i>	0.9302(1)	0.9302(1)	0.7351(1)	
$\tau_3$ - Y <sub>4</sub> LiSn <sub>4</sub>	...	...	...	...	...	...	

\*дані авторів роботи [22]

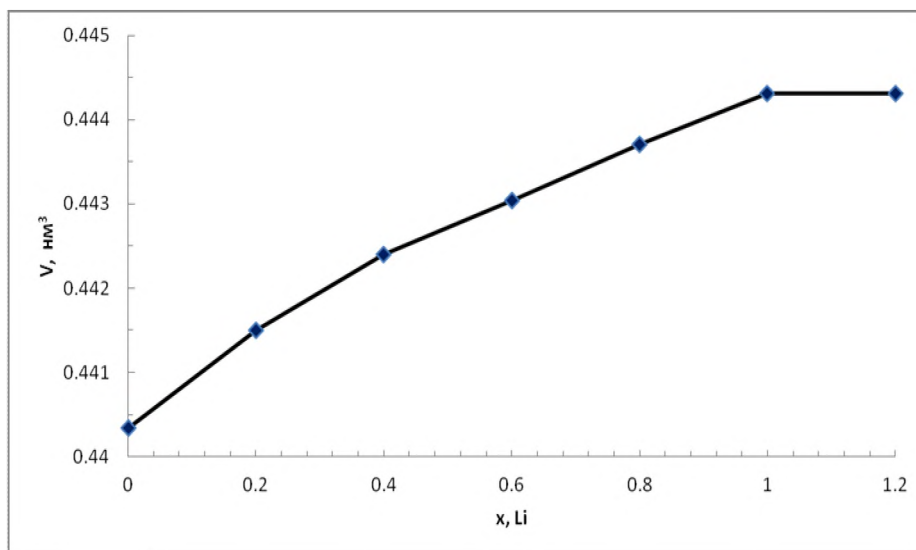


Рис. 2. Зміна об'єму елементарної комірки із збільшенням вмісту літію у твердому розчині  $Y_5Li_xSn_3$  ( $0 \leq x \leq 1,0$ )

За характером взаємодії досліджувана система Y-Li-Sn є подібною до раніше вивчених систем із Силіцієм, а саме Ce-Li-Si [23], Gd-Li-Si [24], Ho-Li-Si [25] та Er-Li-Si [26]. Вони характеризуються утворенням невеликої кількості потрійних сполук (максимум – 4) і областями незмішування із бінарних систем РЗМ-Li. Всі системи характеризуються утворенням тернарних сполук лише точкового складу. Проте, на відміну від силіційвмісних систем, які не містять твердих розчинів на основі бінарних та тернарних сполук, у системі Y-Li-Sn спостерігається утворення твердого розчину включення на основі фази  $Y_5Sn_3$ .

Одержані тернарні сполуки можна використовувати як вихідні компоненти для синтезу тетрарних фаз, так і твердих розчинів заміщення на основі потрійних фаз шляхом заміщення атомів Літію атомами d-металу (Co, Ni, Cu або Zn)

## Висновки

**1. Методами** X-променевого фазового аналізу та енергодисперсійної рентгенівської спектроскопії побудовано ізотермічний переріз діаграми стану системи Y-Li-Sn в концентраційному інтервалі 30-100 ат. % Sn за температури 400 °С.

**2. Встановлено** утворення двох нових тернарних сполук складів  $YLiSn_2$  (структурний тип  $CeNiSi_2$ , просторова група  $Cmcm$ , символ Пірсона  $oS16$ , параметри комірки  $a = 0.4252(1)$ ,  $b = 1.8001(7)$ ,  $c = 0.4339(1)$  нм) та  $Y_4LiSn_4$  (невідомої структури). Підтверджено існування однієї потрійної фази (YLiSn).

**3. Виявлено** існування твердого розчину включення на основі бінарної фази  $Y_5Sn_3$ , граничним складом якого є  $Y_5LiSn_3$ .

## Література

1. Павлюк В.В., Печарский В.К., Бодак О.И., Сколоздра Р.В., Гладышевский Е.И. Новые тернарные станиды редкоземельных металлов и лития. // Изв. АН СССР. Неорг. материалы. 1989. Т.25, №7. С. 1145-1148.
2. Makongo J.P.A., Suen N.T., Guo S., Saha S., Greene R., Bobev S. The  $RELi_xSn_2$  (RE=La–Nd, Sm, and Gd;  $0 \leq x < 1$ ) series revisited. Synthesis, crystal chemistry, and magnetic susceptibilities. // J. of Solid State Chemistry. 2014. Vol. 211. P. 95–105.
3. Todorov I.S., Sevov S.C. In search of cyclohexane-like  $Sn_6^{12-}$ : Synthesis of  $Li_2Ln_5Sn_7$  (Ln= Ce, Pr, Sm, Eu) with an open-chain heptane-like  $Sn_7^{16-}$  instead. // Inorg. Chem. 2007. Vol. 46. P. 4044-4048.
4. Todorov I.S., Sevov S.C. Heavy-Metal Aromatic and Conjugated Species: Rings, Oligomers, and Chains of Tin in  $Li_{9-x}EuSn_{6+x}$ ,  $Li_{9-x}CaSn_{6+x}$ ,  $Li_5Ca_7Sn_{11}$ ,  $Li_5Eu_5Sn_9$ ,  $LiMgEu_2Sn_3$ , and  $LiMgSr_2Sn_3$ . // Inorg. Chem. 2005. Vol. 44. P. 5361-5369.
5. Schwarzenbach D. Program LATCON: refine lattice parameters. - Lausanne: University of Lausanne, 1966.
6. Kraus W., Nolze G. PowderCell for Windows. - Berlin: Federal Institute for Materials Research and Testing, 1999.

7. Akselrud L.G., Grin Yu.N., Zavalii P.Yu. CSD - universal program package for single crystal or powder structure data treatment // Coll. Abstr. 12<sup>th</sup> European Crystallographic Meeting. – Vol. 3. - Moskow: Nauka. - 1989. - P. 155.
8. Rodriguez-Carvajal J. FULLPROF: A Program for Rietveld Refinement and Pattern Matching Analysis, version 3.5d; Laboratoire Léon Brillouin (CEA-CNRS): Saclay, France, 1998.
9. Schmidt F.A., McMasters O.D. Yttrium-tin alloy system. // J. Less-Common Met. 1968. Vol. 15. P. 1-11.
10. Grube G., Meyer E. Electrical Conductivity and Phase Diagram of Binary Alloys. 16. The System Li-Sn. // J. Electrochemie. 1934. Bd 40. S. 771-777.
7. Blase W., Cordier G. Crystal structure of  $\beta$ -Lithium stannide,  $\beta$ -LiSn. // Z. Kristallogr. 1990. Bd. 193. S. 317-318.
8. Müller W., Schäfer H. Die Kristallstruktur der Phase LiSn. // Z. Naturforsch. B. 1973. Bd. 28. S. 246-248.
9. Frank U., Müller W., Schäfer H. Die Struktur der Phase  $\text{Li}_5\text{Sn}_2$ . // Z. Naturforsch. B 1975. Bd. 30, S. 1-5.
10. Frank U., Müller W., Schäfer H. Die Kristallstruktur der Phase  $\text{Li}_7\text{Sn}_2$ . // Z. Naturforsch. B 1975. Bd. 30, S. 6-9.
11. Müller W. Darstellung und Struktur der Phase  $\text{Li}_7\text{Sn}_3$ . // Z. Naturforsch. B. 1974. Bd. 29. S. 304-307.
12. Lupu C., Mao J.G., Rabalais J.W., Guloy A.M., Richardson J.W. X-ray and Neutron Diffraction Studies on " $\text{Li}_{4,4}\text{Sn}$ ". // Inorg. Chem. 2003. V. 42. P. 3765-3771.
13. Frank U., Müller W. Darstellung und Struktur der Phase  $\text{Li}_{13}\text{Sn}_5$  und die strukturelle Verwandtschaft der Phasen in den Systemen Li-Sn und Li-Pb. // Z. Naturforsch. B 1975. Bd. 30, S. 316-322.
14. Hansen D.A., Chang L.J. Crystal Structure of  $\text{Li}_2\text{Sn}_5$ . // Acta Crystallogr. B. 1969. V. 25. N11. P. 2392-2395.
15. Palenzona A., Manfrinetti P. The tin-rich side of the rare earth-tin systems (R= Gd, Tb, Dy, Ho, Er, Tm, Lu and Y). // J. Alloys Compd. 1993. Vol. 201. P. 43-47.
16. Sebastian C.P., Pöttgen R. The Stannides  $\text{YNi}_x\text{Sn}_2$  ( $x = 0, 0.14, 0.21, 1$ ) - Syntheses, Structure, and  $^{119}\text{Sn}$  Mössbauer Spectroscopy. // Monatsh. Chem. 2007. Bd. 138. S. 381-388.
17. Romaka L.P., Dovgalyuk Y., Romaka V.A., Lototska I., Stadnyk Y.V. Interaction of the components in Y-Ni-Sn ternary system at 770 K and 670 K. // Intermetallics. 2012. Vol. 29. P. 116-122.
22. Steinberg G., Schuster H.U.  $\text{YLiSn}$  - eine ternäre Verbindung mit verzerrem Li-Sn-Wurtzitgerüst. // Z. Naturforsch. 1979. Bd. 34B. S. 1237-1239.
23. Павлюк В.В., Печарський В.К., Бодак О.І. Ізотермічний переріз діаграм стану систем Ce-Li-{Si, Ge} при 470 К. // Доп. АН УРСР. Сер. Б. -1989. -№ 2. -С. 51-54.
24. Павлюк В.В., Бодак О.І. Фазовые равновесия в системах Gd-Li-Si (Ge) при 470 К. // Металлы. -1993. - №2. -С. 211-214.
25. Павлюк В.В. Синтез і кристалохімія інтерметалічних сполук літію: Автореф. дис. ... д-ра хім. наук. Львів, 1993. 38 с.
26. Матвіїшин Р.І. Взаємодія Ербію із перехідними металами (Co, Ni), Літієм та р-елементами IV групи (Si, Ge): Автореф. дис. ... кандидата хім. наук. Львів, 2009. 21 с.

**Стецьків Андрій Остапович** – кандидат хімічних наук, доцент, завідувач кафедри хімії фармацевтичного факультету.